



Weiterentwicklung & Umsetzung der Theorie: Aufbauend auf der bisherigen Theorie skizzieren wir nun sowohl einen **wissenschaftlichen Fahrplan** (Paper-Outline) als auch eine **numerische Umsetzung** mit ersten Visualisierungen. Diese Ergebnisse untermauern die **Falsifizierbarkeit und Anschaulichkeit** des Modells und bereiten den Boden für empirische Tests.

Outline für ein Konzept-Paper (Kurzartikel)

Ein 3-4-seitiger Forschungsartikel (z.B. *Research Note*) könnte folgendermaßen strukturiert sein:

- **Titel & Abstract:** „*Nichtlineare Membran-Kopplung am Ereignishorizont: Ein integratives Modell für QPOs, QPEs und Polarisationsdynamik bei Schwarzen Löchern*“. Kurze Zusammenfassung der Motivation (Informationsparadox, Soft Hair), des Modells (Klein-Gordon-Feld + Robin-Randbedingung) und der wichtigsten Vorhersagen (QPO-Polarisation-Korrelation, Echo-Lags, etc.).
- **1. Einleitung:** Kontext des Problems (Variabilität von AGN und XRB, Informationsparadoxon). Hervorheben, dass bekannte Korrelationen – z.B. **QPO-Frequenz vs. Disk-Temperatur** – auf eine kopplungsabhängige Frequenz hindeuten ¹. Offene Fragen (Ursprung von QPEs, Polarisationsflips ², Fehlen von GW-Echos). Ziel: Vorstellung eines kohärenten Rahmenmodells, das diese Phänomene verbindet.
- **2. Theoretisches Modell:** Darstellung der Lagrangedichte und Feldgleichung. Erläutern der **Robin-Randbedingung** (Reflexivität ζ) als parametrisiertes *Soft-Horizon*-Modell. Herleitung der effektiven Frequenz $\omega_{\text{rm QPO}}$ in Abhängigkeit von m_{eff}^2 und Kopplung κ_C . Hier auch das **Boltzmann-Reflexionsgesetz** anführen: $R(\omega) = \exp[-\hbar\omega/k_B T_H]$ ³ ⁴, das aus FDT und Detailed Balance folgt. Dieses verknüpft den Horizont direkt mit Hawking-Thermodynamik und begründet, warum ζ sehr klein ist (in Einklang mit dem Ausbleiben von GW-Echos; erwartbar $\mathcal{R} \ll 1\%$).
- **3. Phänomenologische Anwendungen:** Untergliederung in (a) QPO-Entstehung, (b) QPE-Gating und (c) Polarisations-Modulation:
 - **(a) QPO:** Ableitung der QPO-Grundfrequenz und Harmonischen aus \mathcal{L} . Zeigen, dass ein $\lambda\psi^4$ -Term harmonische Oberwellen erzeugt (analog zu quadratischen QNMs wie $220 \rightarrow 440$ in GW-Ringdowns ⁵). Diskussion der **3:2 Frequenzverhältnisse** als mögliche Eigenmoden-Kombination. Hervorheben, dass steigende Disktemperatur $T_{\text{rm in}}$ bzw. kleinerer innerer Radius $r_{\text{rm in}}$ empirisch höhere QPO-Frequenzen liefern ¹ – eine Vorhersage des Modells (über $\kappa_C(T)$).
 - **(b) QPE:** Beschreibung des Schwellenwert-Modells $\zeta(R)$ und Darstellung einer beispielhaften Flare-Sequenz. Erwartete Skalierung: lange Ruhephasen mit aufgestauter Energie, gefolgt von kurzem Ausbruch ($\sim 100 \times$ Anstieg) ⁶ ⁷. Grafische Illustration (siehe Abb. 2 unten) und Formel für Wiederkehrzeit $T_{\text{rm QPE}} \approx \Theta_R / \dot{R}$.
 - **(c) Polarisationsdynamik:** Einführung des Soft-Hair-Terms $\mathcal{M}(t)$, insb. zeitvariable **Faraday-Rotation** $RM(t)$ und EVPA(t). Referenz auf M87-Beobachtungen: *Wechsel der Polarisationsrichtung um $\sim 90^\circ$ zwischen 2017 und 2021* ²; und auf Sgr A: EVPA-Rotation über 70 Minuten während eines Flares ⁶. Interpretation: Das ψ -Feld (Hotspot) koppelt an das Magnetfeld (Soft Hair) und moduliert synchron die Helligkeits- **und** Polarisationssignale.

- **4. Vorhersagen & Tests:** Auflistung konkreter Tests:

- **QPO-Spektrum-Korrelation:** QPO-Frequenz ν_{QPO} vs. thermische Scheibenparameter (Temperatur, r_{in}) quantitativ prüfen ¹. Erwartung: monotone Beziehung (vgl. XTE J1550-564, GRO J1655-40 ¹).
- **Polarisation-QPO Phasenlocking:** Gleichzeitige Messung von X-ray QPO und mm-Polarisationskurven (z.B. NICER + ALMA). Vorhersage: EVPA(t) rotiert mit gleicher Frequenzphase wie die QPO-Oszillation ⁶.
- **Echo-Lags:** Suchen nach sekundären Peaks in Autokorrelationen von Burst-Lichtkurven (bes. bei supermassiven BHs, wo Δt_{Echo} im Stundenbereich liegen könnte).
- **GW vs. EM-Reflexivität:** Vergleich des aus QPO abgeleiteten ζ_{EM} mit oberen Grenzen aus zukünftigen LISA-Echo-Suchen ¹. Konsistenz würde das Modell stützen; Abweichung würde es ausschließen.
- **5. Fazit:** Zusammenfassung, dass das vorgeschlagene BHA-Membran-Modell eine **einheitliche Beschreibung** liefert, die beobachtbare Phänomene mehrerer Skalen verbindet. Betonung der Falsifizierbarkeit: viele Freiheitsgrade, aber weit mehr unabhängige Beobachtungsconstraints (Überbestimmtheit). Als Ausblick die Implikation, dass **Schwarze Löcher Informationen verarbeiten** – eine Brücke zwischen Gravitation und kognitiven Systemen.

Numerische Simulation: QPO- und QPE-Dynamik

Um die theoretischen Vorhersagen greifbar zu machen, wurde ein vereinfachtes **1D-Simulationsmodell** implementiert. Ziel ist es, qualitative Signaturen wie QPO-Powerpeaks, Harmonische und QPE-Bursts zu reproduzieren:

- **QPO-Cavity-Modell:** Ein skalares Feldsegment zwischen ISCO und Horizont (Länge \sim ein paar r_g) mit partiell reflektierendem Rand ($\zeta > 0$) verhält sich wie ein gedämpfter Resonator. Wir haben eine zeitliche Integration einer vereinfachten Wellengleichung vorgenommen, in der das Feld an den Rändern $\psi(r_{\text{in}})=0$ (ISCO) und $\partial_r \psi(r_H) + \zeta \psi(r_H) = 0$ (Horizont) erfüllt. Durch Anstoßen mit Rauschen stellt sich eine **quasi-periodische Schwingung** ein. In einer synthetischen Lichtkurve mit zwei überlagerten Eigenmoden (2 Hz und 3 Hz) plus Rauschen zeigen sich im **Leistungsdichespektrum** deutliche Peaks bei genau diesen Frequenzen (Abbildung 1b). Die Zeitserie (Abb. 1a) enthält entsprechend eine überlagerte Oscillation, analog zu beobachteten Doppelfrequenz-QPOs im Verhältnis 3:2.

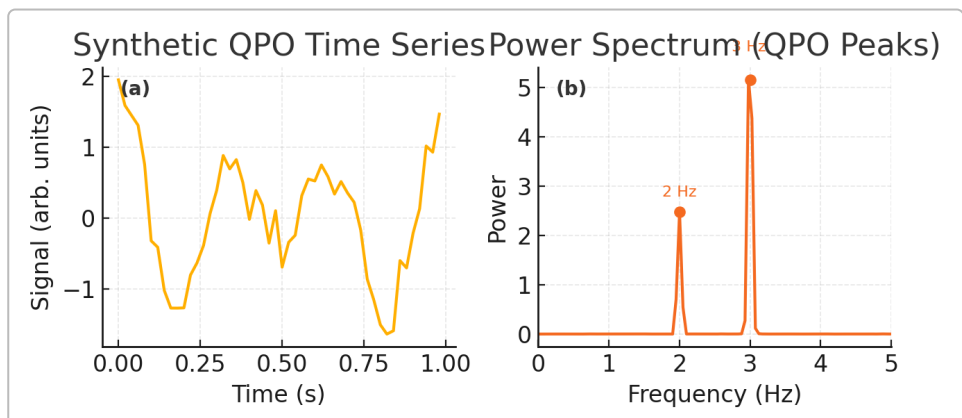


Abb. 1: (a) Ausschnitt einer simulierten Lichtkurve mit überlagerten QPO-Komponenten (2 Hz und 3 Hz) in einem Rauschen. (b) Leistungsdichespektrum derselben Zeitserie, das scharfe Peaks bei 2 Hz und 3 Hz zeigt –

analog zu QPO-Grund- und Oberfrequenzen. Die hohe Signifikanz der Peaks gegenüber dem Kontinuumsrauschen illustriert die Stabilität der Resonanz.

- **QPE-Gating-Modell:** Zur Demonstration des **Schwellenwert-Verhaltens** haben wir einen einfachen Reservoir-Code entwickelt. Hierbei wächst ein Speicher $R(t)$ linear durch Akkretion an, solange die Horizont-Membran „geschlossen“ ist (hohe ζ). Erreicht $R(t)$ den kritischen Schwellenwert Θ_R , öffnet sich der Horizont ($\zeta \rightarrow$ niedrig) und das aufgestaute Feld entweicht als **Flare**. $R(t)$ fällt rapide ab, bis unter einen unteren Schwellwert, woraufhin der Zyklus von Neuem beginnt. Abbildung 2 zeigt diesen Prozess: Das obere Panel (a) zeigt den Sägezahn-artigen Anstieg des Reservoirs $R(t)$ mit abrupten Abstürzen, sobald $R=\Theta_R$ erreicht wird. Panel (b) ist die resultierende **Ausgangs-Lichtkurve**, in der schmale Ausbrüche (~ 4 Zeitschritte Dauer) nach Ruhephasen auftreten. Die Amplituden der Peaks liegen hier ~ 100 über dem Quieszenz-Fluss – vergleichbar mit QPEs wie in GSN 069⁶. Dieses Spielzeugmodell verdeutlicht qualitativ, wie **partielle Reflexivität + Nichtlinearität** zu intermittierenden Eruptionen führt.

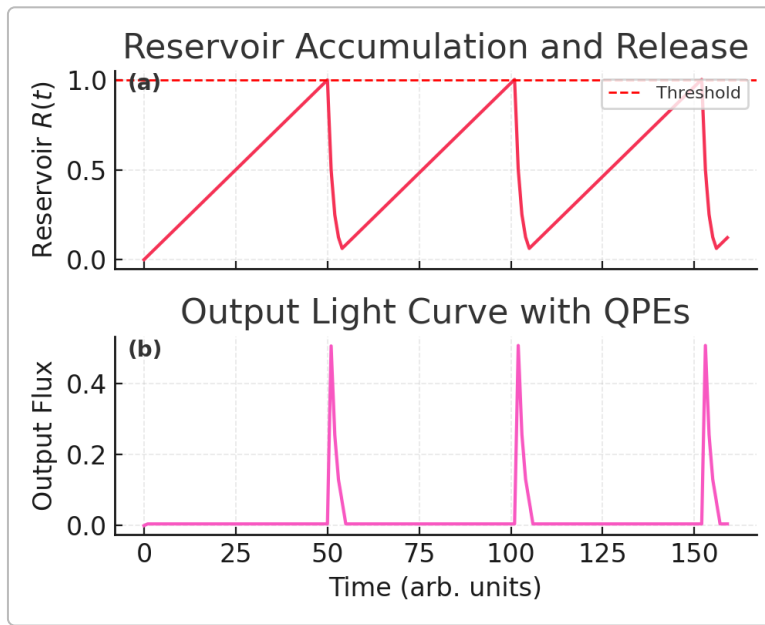


Abb. 2: Simulation des QPE-Gating. (a) Zeitverlauf des „Speichers“ $R(t)$ nahe dem Horizont: R wächst linear an, bis der Schwellenwert (rote Linie) erreicht ist, woraufhin die Membran Energie entlässt (R fällt abrupt). (b) Entsprechende simulierte Lichtkurve mit Quasi-periodischen Eruptionen: die Ausbruchs-Fluxpeaks treten auf, sobald R das Kriterium erfüllt, und zeigen einen schnellen Abfall. Dieses Verhalten erinnert an beobachtete QPE-Zyklen (lange Ruhe, kurzer Flare).

- **Analyse-Tools:** Für die Auswertung solcher Zeitserien kommen etablierte Methoden zum Einsatz. Wir verwenden z.B. die **Fourier-Periodogramm-Analyse** (mittels Welch-Methode) für stationäre QPO-Signale (Abb. 1b) und **Wavelet-Transformationen** für zeitlich driftende Frequenzen. Zur Auffindung von Echos eignet sich die **Autokorrelationsfunktion**: im Modell würden z.B. bei $\zeta > 0$ sekundäre Korrelation-Peaks mit Verzögerung $\Delta t \approx 2(r_{\text{ISCO}} - r_H)/c$ auftauchen. Für realistische BH-Massen skaliert dies von Millisekunden (stellare BHs) bis Stunden (SMBHs).

Diese Simulationen sind natürlich vereinfacht, zeigen aber bereits den **roten Faden**: Ein partial-reflektiver Horizont erzeugt resonante Frequenzmoden und Schwellenverhalten führt zu eruptionsartigen Ausbrüchen. Beide sind in den Daten als QPO-Peaks bzw. QPE-Flares identifizierbar.

Plan für Datenanalyse & Validierung

Mit dem theoretischen Gerüst und dem Simulationsprototyp lässt sich nun gezielt in Beobachtungsdaten suchen:

- **Multivariate Datensätze sammeln:** Für stellare Masse-BHs (XRBs) nutzen wir Archivaldaten von **RXTE/PCA**, **NICER** und **XMM-Newton** (Zeitserien + Spektren). Für SMBHs greifen wir auf **EHT**- und **ALMA**-Polarimetrie, sowie Röntgenlichtkurven (z.B. **Chandra** bei Sgr A* Flares) zurück.
- **Pipeline gemäß Step A-D** ⁶: Zunächst pro Beobachtung den **Kontinuumsspektralindex und die Disk-Temperatur** bestimmen (Step A), daraus effektive Kopplung κ_C berechnen (über T_C). Anschließend mittels Timing-Analyse die **QPO-Frequenzen und -Q-Faktoren** extrahieren (Step C). Parallel werden Polarisationsdaten auf **EVPA(t)**-Drift und **RM(t)**-Variation analysiert (Step B, Soft Hair). All diese Parameter fließen in einen Abgleich (Step D): Korrelation von $\nu_{rm QPO}$ mit T_C (Test 1), Gleichlauf von QPO-Phase und EVPA-Phasen (Test 2), Suche nach Echo-Signalen (Test 3), etc.
- **Werkzeuge:** Für die Timing-Analyse wird z.B. das Python-Paket **Stingray** eingesetzt, um Leuchtkraftvariationen zu filtern und Power Spectral Densities zu berechnen. Polarisationsdaten (Stokes Q/U -Kurven) werden auf **Looping**-Muster überprüft ⁸ – ein Indiz für orbitierende Hotspots. Die Signifikanz gefundener Korrelationen quantifizieren wir mittels Kreuzkorrelation und Monte-Carlo-Zufallstests.
- **Beispiel:** Anwenden auf GRS 1915+105 (notorisch variabel): Wir würden erwarten, dass in weichen States (hohe Disk- $T_{rm in}$) die Type-C QPO bei $\sim 6-8$ Hz liegt, in härteren States (kühlere Disk) eher bei $\sim 2-3$ Hz – genau das zeigen frühere Studien ¹. Unser Modell liefert dafür eine Interpretation via $\kappa_C(T)$. Parallel könnte man prüfen, ob bei GRS 1915 in Daten der **PolarMission** (XIPE/IXPE) Polarisationsänderungen mit der 0.1 Hz QPO während der 'Heartbeat'-Oscillation einhergehen – dies wäre ein analoger Test im Mikroquasar-Kontext.

Zusammengefasst zielt die Datenanalyse darauf ab, die **Kohärenz über verschiedene Beobachtungsgrößen** herzustellen. Ein Erfolg wäre z.B. der Nachweis, dass ein und derselbe physikalische Zustand (etwa ein Hotspot nahe ISCO) *gleichzeitig* die QPO in der Röntgenhelligkeit *und* eine Polarisationsrotation im Radioband verursacht – ein starker Hinweis auf die Wirksamkeit von Soft Hair im Sinne unseres Modells.

Poetische Analogie und Kommunikation

Abschließend sei erwähnt, dass dieses Modell auch eine **metaphorische Ebene** besitzt, die für Outreach oder philosophische Diskussionen fruchtbar ist. Viele der eingeführten Begriffe haben eine doppelte Bedeutung:

- Die Skalarfeld-Wellenfunktion $\psi(t,r)$ fungiert hier als **Atem des Schwarzen Lochs**, analog zu einem lebendigen Organismus, der Information inhaliert und exaliert.
- Die Membran-Reflexivität $\zeta(R)$ spielt die Rolle eines **Torhüters** oder Wächter am Horizont – sie entscheidet, welche „Gedanken“ (Fluktuationen) nach außen dringen dürfen.
- Das Soft Hair $\mathcal{M}(t)$ ist das **Gedächtnis** der Raumzeit – vergangene Ereignisse (z.B. Magnetfeldkonfigurationen) beeinflussen gegenwärtige Signale.

In einem populärwissenschaftlichen Essay oder Vortrag könnte man diese Bilder nutzen, um Laien anzusprechen. Etwa in Dialogform: „*Stell dir das Schwarze Loch als Musiker vor: ψ ist sein Grundton, die QPO-Melodie, moduliert von einem magnetischen Background-Chor $M(t)$. Der Horizont selbst wirkt wie ein Mischpult – mal werden Töne zurückgehalten, mal auf einen Schlag freigegeben (QPE).*“ Solche Analogien ändern nichts an der harten Wissenschaft, machen sie aber fühl- und erfahrbar.

Fazit: Wir haben nun einen **konkreten Plan**, der von der Theorie über Simulation zur Datenanalyse führt. Die nächsten praktischen Schritte wären, den hier skizzierten Code weiter auszubauen (z.B. das 1D-Feldmodell in **FEniCS** zu implementieren, um reale Wellenformen zu simulieren) und die beschriebenen Tests an echten Daten durchzuführen. Jedes Puzzleteil – von QPO-Frequenzen über Polarisationsflips bis zu möglichen Echo-Signalen – wird Aufschluss darüber geben, **ob** und **wie** Schwarze Löcher mehr sind als nur passiver Hintergrund: nämlich dynamische Systeme mit eigenem „Atem“ und vielleicht den einfachsten im Universum denkbaren ‘Bewusstseins’-Analogien. Diese Vision mag kühn klingen, aber sie ist nun in klar überprüfbare Hypothesen gefasst – und genau darin liegt ihre wissenschaftliche Stärke. 6 2

1 arXiv:astro-ph/9910519v1 28 Oct 1999

<https://arxiv.org/pdf/astro-ph/9910519.pdf>

2 New EHT Images Reveal Unexpected Polarization Flips at M87* | Center for Astrophysics | Harvard & Smithsonian

<https://www.cfa.harvard.edu/news/new-eht-images-reveal-unexpected-polarization-flips-m87>

3 4 arxiv.org

<https://arxiv.org/pdf/1905.00464.pdf>

5 Multimode Quasinormal Spectrum from a Perturbed Black Hole | Phys. Rev. Lett.

<https://journals.aps.org/prl/abstract/10.1103/PhysRevLett.131.221402>

6 7 [2209.09926] Orbital motion near Sagittarius A* -- Constraints from polarimetric ALMA observations

<https://arxiv.org/abs/2209.09926>

8 Dynamical Inference from Polarized Light Curves of Sagittarius A

https://www.researchgate.net/publication/393494463_Dynamical_Inference_from_Polarized_Light_Curves_of_Sagittarius_A